

بیواستراتیگرافی و پالئواکولوژی عضو ۶ سازند قم بر اساس استراکدها در برش چشمۀ برون، غرب قم

جهانبخش دانشیان^(۱)، مریم گودرزی^(۲)

۱. دانشیار گروه زمین‌شناسی، دانشکده علوم زمین، دانشگاه خوارزمی
۲. کارشناس ارشد، گروه زمین‌شناسی، دانشکده علوم زمین، دانشگاه خوارزمی

تاریخ دریافت: ۹۴/۱۲/۰۵

تاریخ پذیرش: ۹۵/۰۴/۲۶

چکیده

هدف از این مطالعه، سیستماتیک و شناسایی جنس‌ها و گونه‌های استراکدهای عضو ۶ سازند قم در برش مورد مطالعه (چشمۀ برون)، به‌منظور بیواستراتیگرافی و تعیین سن نهشته‌ها و انجام مطالعات پالئواکولوژی با توجه به تغییرات فراوانی و تنوع استراکدها براساس داده‌های به‌دست‌آمده می‌باشد. فراوانی و تنوع جنس‌های *Cytherella*, *Loxochoncha*, *Krithe*, *Xestoleberis*, *Ruggieria*, *Aurila*, *Paracypris* در برش چشمۀ برون نشان می‌دهد که اگرچه محیط از لحاظ ویژگی‌های نظیر درجه حرارت و شوری دارای نوسان است اما غالباً نشانگر یک دریاچه گرم با شوری نرمال است. افزایش و کاهش استراکدا در برش مورد بررسی، بیانگر تغییرات متنابض فراوانی و تنوع آن‌ها با تغییرات محیطی بوده و در واقع این امر نشان‌دهنده‌ی بی‌ثباتی شرایط محیطی در طول توالی مورد مطالعه می‌باشد. به نظر می‌رسد علت این بی‌ثباتی احتمالاً به‌واسطه تغییرات مربوط به میزان مواد غذایی، اکسیژن و آشفتگی آب می‌باشد. همچنین براساس مجموع استراکدهای بررسی شده، سن میوسن پیشین (اکیتانین-بوردیگالین) برای نهشته‌های عضو ۶ سازند قم در برش چشمۀ برون پیشنهاد می‌شود.

واژه‌های کلیدی: استراکدا، بیواستراتیگرافی، پالئواکولوژی، سازند قم، غرب قم.

مقدمه

فاصله زمانی قابل توجه، در سال‌های اخیر کارهای جدید و بسیاری در زمینه‌های مختلف از جمله فرامینیفرا (به عنوان مثال: دانشیان و قنبری، ۱۳۸۶؛ دانشیان و اخلاقی، ۱۳۸۷؛ دانشیان و آفتایی، ۱۳۸۸)، استراکدا (دانشیان و وادونی، ۱۳۸۹؛ Dana, 2007)، اشتال (Stahl, 1911) بیش از یک قرن می‌گذرد و در آن زمان چنین سازندی ناشناخته بود. این نهشته‌ها در گذشته با نام‌های گوناگونی نظیر سازند الیگو-میوسن (Furrer and Riben, 1935)، نهشته‌های دریایی نئوزن (Soder, 1955)، مارن‌های لپیدوسیکلین دار اکیتانین قم (Furon and Marie, 1939) معروف شدند، اما در سال (Dozy, 1945) بود که از این سنگ‌ها با نام سازند قم یاد شد. پس از یک

نویسنده مرتبط: daneshian@knu.ac.ir

است و تا میوسن پیشین ادامه داشته است و بحسب زمان پیشروی و پسروی دریا و یا چرخه‌های فرسایشی، تغییرات سنی قابل توجهی دارد (درویش زاده، ۱۳۸۲).

پیشینه مطالعات

سازند قم، از نظر رنگ و لیتولوزی از سازندهای قرمز زیرین و قرمز بالایی که آن را در برگرفته‌اند، متمایز بوده و برای آن در جنوب شهر قم ناحیه‌الگو تعریف شده و در این ناحیه به نه عضو (a,b,c-1,c-2,c-3,c-4,d,e,f) تقسیم شده است (Stocklin and Setudehnia, 1977).

مطالعات انجام شده بر روی استراکدا گاه شامل عضوی از سازند قم بوده و گاه کل سازند قم را در بر می‌گرفته است.

تعداد مطالعات انجام شده بر روی استراکدا عضو ۶ بسیار محدود بوده که در جدول ۱ به آن‌ها اشاره شده است.

دیرینه نهشته‌های سازند قم با استفاده از استراکدها کمتر مورد توجه قرار گرفته است و تعداد مطالعات انجام شده بسیار کم و انگشت شمار می‌باشد، در این تحقیق مطالعه استراکدها از جهت ارزش آن‌ها در تعیین سن نهشته‌ها و شناسایی ویژگی‌های محیطی در برش چشمی بروند واقع در غرب شهر قم مورد توجه قرار گرفته است.

زمین‌شناسی عمومی

در نواحی قم نهشته‌های سنوزوئیک که در جهت شمال غربی-جنوب شرقی گستردگی شده‌اند، غالباً بیانگر رسوبات حوضه‌ی قم هستند و بخش مهمی از ایران مرکزی را شامل می‌شوند. رسوبات این حوضه در جنوب قم دارای بیشترین ضخامت می‌باشند. سازند قم که بیشتر از رسوبات کم‌عمق مانند سنگ آهک و مارن تشکیل شده بمریبوط به یک پیشروی دریابی بوده است که شواهدی از آن در الیگوسن بالایی موجود

جدول ۱. پیشینه مطالعاتی استراکدا در سازند قم

پژوهشگران و سال تحقیق	منطقه	تعداد جنس و گونه	سن
پورمعتمد (۱۳۴۶)	دوچاه در ناحیه‌الگو، شمال غرب شهر قم	۱۷ جنس / ۳۶ گونه	میوسن پیشین- میانی (اکیتانین - لانگین)
هادوی (۱۳۶۳ و ۱۳۸۱)	دوچاه در ناحیه‌الگو، شمال غرب شهر قم	۱۲ جنس / ۱۹ گونه	میوسن پیشین- میانی
Daneshian and Ramezani Dana (2007)	شمال ده نمک شمال شرق گرمسار C-3,C- (هم‌ارز عضوهای ۴,۵,۶,۷) سازند قم در ناحیه‌الگو	۲۳ جنس و گونه	اکیتانین - بوردیگالین
ترکزاده ماهانی و همکاران (۱۳۸۹)	جفریز (شمال بافت در استان کرمان)	۱۹ جنس / ۲۱ گونه	میوسن پیشین (اکیتانین)
دانشیان- وادونی (۱۳۸۹)	کوه دوبرادر در ناحیه‌الگو، جنوب شرق شهر قم (عضو ۶)	۳۵ جنس / ۵۸ گونه	میوسن پیشین- میانی (بوردیگالین- لانگین)
اسماعیلی دهج (۱۳۹۰)	شمال غرب سمنان	۵۹ جنس / ۱۲۳ گونه	میوسن پیشین
احسانی (۱۳۹۰)	کمر کوه در ناحیه‌الگو، غرب شهر قم (عضو ۶)	۵۰ جنس / ۱۰۳ گونه	میوسن
دانشیان- طربقی (۱۳۹۱)	کوه دوچاه در ناحیه‌الگو، شمال غرب شهر قم (عضو ۶)	۵۳ جنس / ۱۰۷ گونه	بوردیگالین
دانشیان- اکرمی (۱۳۹۲)	کمر کوه در ناحیه‌الگو، غرب شهر قم (قاعدۀی عضو ۶)	۲۶ جنس و گونه	میوسن پیشین

اگرچه بر اساس فرامینیفرها، عضو ۶ سازند قم سن بوردیگالین دارد، اما بر اساس گونه‌های شاخص استراکدا محدوده سنی وسیع‌تر دارد و مطابق شکل ۴، بر مبنای اشتراک سنی مجموع استراکدا و گونه‌های نظری *Paracypris pandyai*, *punctatella Loxoconcha* و *Bairdoppilata sp. cf. B. subdeltoidea* پیشین (اکیتانین-بوردیگالین) برای نهشته‌های سازند قم در برش چشم‌های برون قابل تصور است.

بحث

بیواستراتیگرافی: استراکدها ابزاری مناسب و مفید برای تقسیم سنگ‌های رسوبی به واحدهای چینه‌شناسی قابل تشخیص به نام واحدهای بیواستراتیگرافی هستند. علاوه بر این در تعیین سن نسبی طبقات و تطابق رسوبات در مقیاس ناحیه‌ای کاربرد دارند و به عنوان یکی از مهم‌ترین گروه‌های میکروفسیل در بررسی محیط دیرینه مورد استفاده قرار می‌گیرند، ماهیت غالباً بنتونیکی این جانوران سبب شده است که آن‌ها گسترش جغرافیایی وسیعی نداشته باشند و به طور محلی برای تطابق چینه‌شناسی مفید باشند. (Armstrong and Brasier, 2005) استراکدها پس از فرامینیفرها دومین گروه فسیلی محسوب می‌شوند که در برش مورد مطالعه از فراوانی و تنوع ویژه‌ای برخوردارند. حاصل مطالعه و بررسی بیواستراتیگرافی استراکدهای شناسایی شده در این پژوهش، تعیین دو زون تجمعی برای نهشته‌های عضو ۶ سازند قم در برش چشم‌های برون است که به شرح زیر می‌باشد.

1. *Krithe* sp. 4 assemblage zone : این بیوزون ۷۷ متر ضخامت دارد و مرز زیرین آن بر اساس اولین حضور *Krithe* sp. 1 و *Krithe* sp. 4 و مرز بالای آن با اولین *Cytheroptron* و *Cytheroptron* sp. 4 حضور گونه‌های *sp. 1* مشخص می‌شود. از فسیل‌های همراه می‌توان به *Cytherella* sp. 2, *Ruggieria*, sp.4, *Macrocy-*, *pris* sp. *Bairdoppilata* sp. cf. *B. subdeltoidea* *pandyai Paracypris* و sp., *Parakrithe* اشاره کرد.

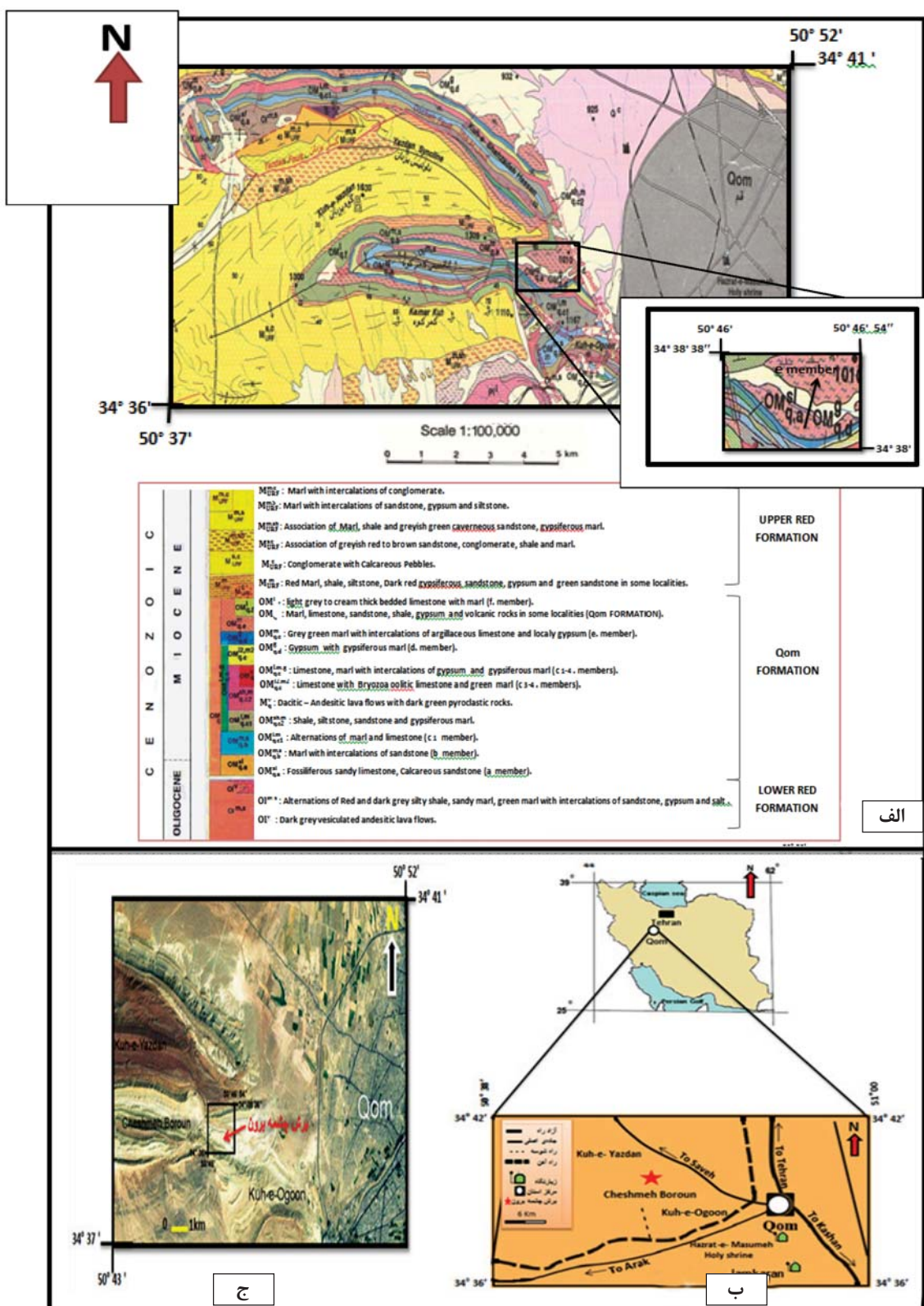
2. *Cytheroptron* sp. 1 assemblage zone : این بیوزون از نمونه ۳۸ تا ۱۱۷ را شامل می‌شود و ۳۳۶

روش مطالعه

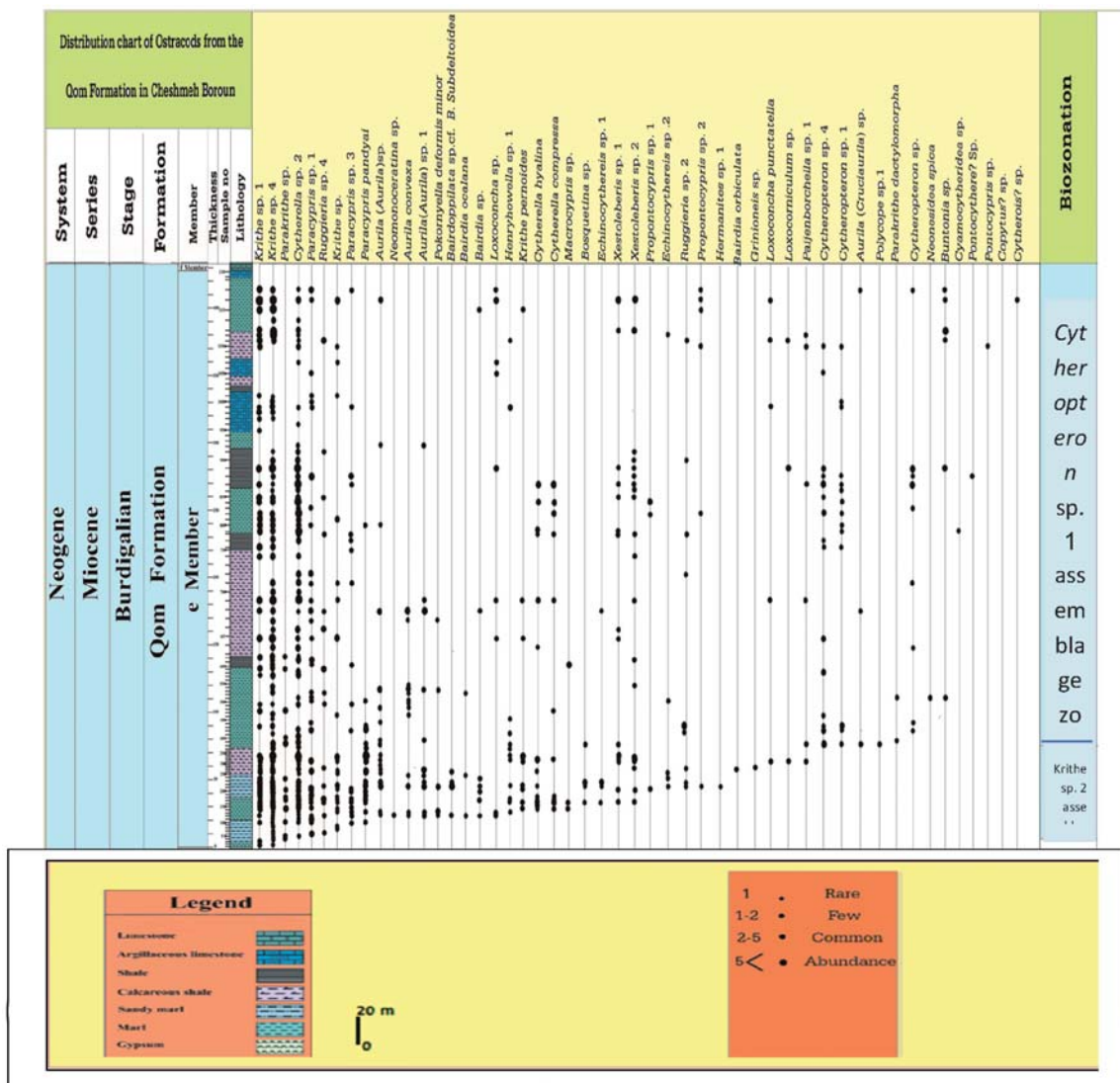
برش چینه‌شناسی مورد مطالعه در منتهی الیه شرقی منطقه‌ی چشمه برون، در شمال غربی کوه اوکون و جنوب شرقی کوه یزدان، در غرب شهر قم واقع شده است. مختصات ۳۴° ۳۸' ۱۲/۹۶ شمالي و طول جغرافياي ۵۰° ۴۸' ۴۲/۹۶ شرقی می‌باشد (شکل ۱-الف و ب). راه دسترسی به برش چینه‌شناسی چشمه برون از طریق جاده قم به اصفهان بعد از طی یازده کیلومتر، در باند شمالی جاده بوده که با تغییر مسیر به سمت جاده فرعی روستای بزدان و پس از طی تقریباً سه کیلومتر به برش مورد مطالعه می‌رسد (شکل ۱-ج). در پژوهش حاضر مطالعات در دو مرحله‌ی صحرایی و آزمایشگاهی (آماده‌سازی نمونه‌ها و شناسایی استراکدا با استریومیکروسکوپ) انجام گرفت. در این راستا ۱۲۰ نمونه‌ی برداشت شده از نهشته‌های مارنی عضو ۶ مورد بررسی قرار گرفت که بعد از آماده‌سازی نمونه‌ها شامل شست و شوی نمونه‌ها با استفاده از الکهای ۳۵، ۱۲۰ و ۲۳۰ میش و جدایش استراکدها از رسوبات با کمک استریومیکروسکوپ، تعداد ۱۰۷۳ استراکد به دست آمد. این استراکدها شامل ۳۰ جنس و ۵۱ گونه متعلق به دو راسته، چهار زیرراسته، ۴ رخانواده و هفده خانواده هستند. ضمناً در این پژوهش از هر الک یک گرم وزن شده والک ۳۵ میش فاقد استراکد بوده است.

گونه‌شناسی یافته‌ها

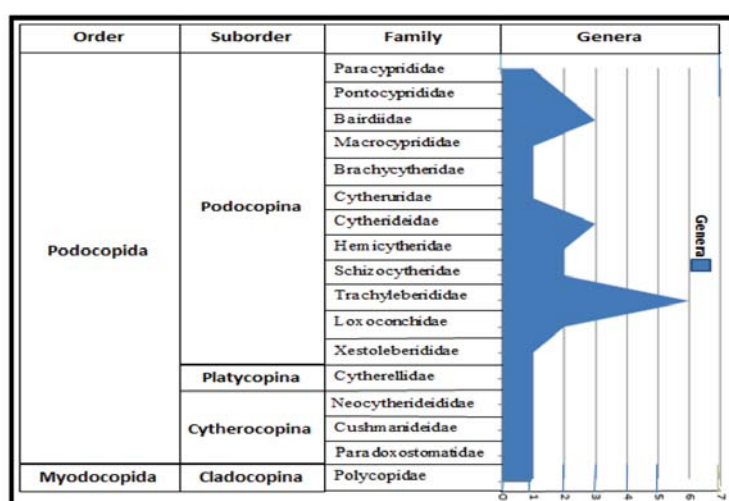
با مطالعه و بررسی مجموعه استراکدهای موجود در برش چینه‌شناسی چشمه برون در مجموع ۳۰ جنس و ۵۱ گونه شناسایی شده است (Plates 1-3)، شکل ۲). این گونه‌ها متعلق به ۱۷ خانواده از ۲ راسته می‌باشند. در بین خانواده‌ها، *Cytherideidae*، *Bairdiidae*، *Trachyleberididae*، *Paracyprididae*، *Macrocyprididae*، *Brachycytheridae*، *Cytheruridae*، *Xestoleberididae*، *Neocytherideididae*، *Cushmarideidae*، *Paradoxostomatidae*، *Polycopidae* و *Cytherellidae* می‌باشند (شکل ۳).



شکل ۱. الف) نقشه زمین‌شناسی محدوده مورد مطالعه برگرفته از نقشه زمین‌شناسی ۱:۱۰۰۰۰۰، قم، سازمان زمین‌شناسی (زمانی، ۱۳۸۲).
ب) تصویر ماهواره‌ای موقعیت جغرافیایی برش چشمeh برون، ج) موقعیت جغرافیایی برش چشمeh برون و راههای دسترسی به آن



شکا، ۲. گسترش حینه‌شناسی استراکدهای عضو و سازند قم در پرش، حینه‌شناسی، جسمه بروز، غرب قم

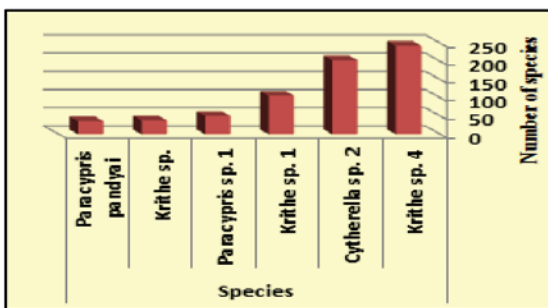


شکا، ۳. تنوع استراکتا در خانواده‌های مختلف شناسایی شده در بریش، حشمه بروز

Oligocene		Miocene			Pliocene	Pleistocene	Series				
Rupelian	Chattian	Lower	Middle	Upper	Zanclean	Piacenzian	Gelasian	Lower	Middle	Upper	Stage
		—	—	—							<i>Aurila convexa</i>
		—	—	—							<i>Loxoconcha punctatella</i>
		—	—	—							<i>Bairdoppilata sp. cf. B. subdeltoidea</i>
		—	—	—							<i>Neonesidea spica</i>
		—	—	—							<i>Pokornyella deformis minor</i>
		—	—	—							<i>Paracypris pandyai</i>

شکل ۴. گسترش زمانی گونه‌های شناسایی شده از برش چشم‌برون، غرب قم

مورد توجه قرار گیرند (Frenzel and Boomer, 2005). استراکدها به تنش‌های محیطی حساس بوده و فراوانی آن‌ها همواره به عنوان شاخص‌های مهم و حساس به آشفتگی‌های محیطی به دست‌آمده است (Bruce, 2002). تغییرات در شوری، شیمی‌آب، خصوصیات فیزیکی بستر، دما، اکسیژن و پایداری این عوامل موجب تغییراتی در ترکیب اجتماعات استراکدها می‌شود (Frenzel and Boomer, 2005). بر اساس نتایج به حساب آمده از شمارش استراکدهای شناسایی شده در برش چشم‌برون از ۳۰ جنس شناسایی شده، بیشترین فراوانی مربوط به جنس‌های *Paracypris* و *Cytherella* می‌باشد (شکل ۵).



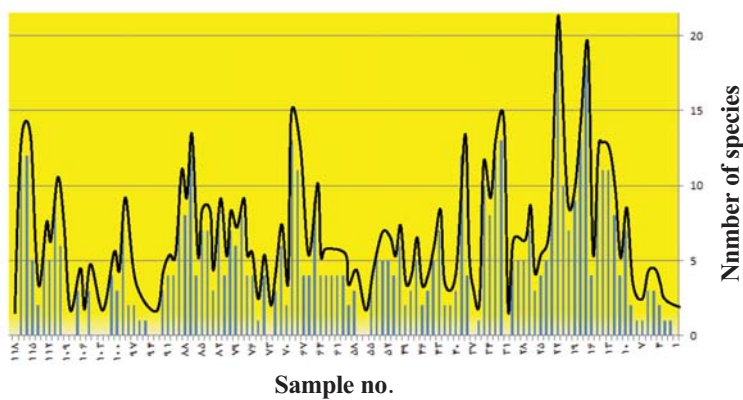
شکل ۵. نمودار گونه‌های دارای بالاترین سطح فراوانی در برش چشم‌برون همچنین استراکدا از لحاظ تنوع دارای تغییرات جالب توجهی هستند که شکل ۶ این تغییرات را نشان می‌دهد. همان‌گونه که در این شکل مشاهده می‌شود تنوع بسیار متغیر بوده بهنحوی که از نمونه‌های شماره ۱ تا ۵ روند افزایشی اندک و از شماره ۶ تا ۸ کاهشی نسبی و سپس تا شماره ۱۳ روند افزایشی مشاهده می‌شود.

متر ضخامت دارد، مرز زیرین این بیوزون بر اساس اولین حضور *Cytheroptron* sp. 1 و *Cytheroptron* sp. 4، *Krithesp.* 4، *Krithesp.* 1، *Cytherella* sp. 2، *Propontocypris* sp. 2 *Loxbuntonia* sp., *oconcha* sp., *Cytheropteron* sp. مشخص می‌شود. افزایش‌های همراه با این بیوزون می‌توان به *Paracypris* sp. 3، *punctatella*, *Loxoconcha*، *Parakrithe dactylomorpha* و *Ruggieria* sp. 2 اشاره کرد. این در حالی است که قبل از این بیوزون *Paracypris* sp. 3، *assemblage zone* و *Neomonoceratina helvetica assemblage zone* و *Paijenborchella* sp. 2 *assemblage zone* وادونی (۱۳۸۹) بیوزون‌های ۱ *Cytherella* sp. 1 *assemblage zone* و *Paracypris* sp. 3 *assemblage zone* را معرفی کرده‌اند که در برش مطالعه قابل شناسایی نیست و این امر احتمالاً به علت تغییرات شدید رخسارهای و در نتیجه تقاضه محیطی می‌باشد.

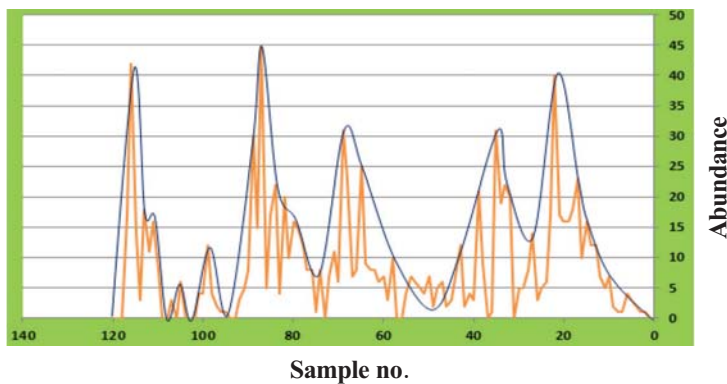
محیط دیرینه: با پژوهش‌های استراکشناسان و شناسایی استراکدها و محیط آنها اطلاعات ارزشمندی در رابطه با محیط دیرینه به دست آمده است. فاکتورهای محیطی مانند عمق آب، شوری، دما، pH و میزان اکسیژن در ترکیب شیمیایی کارپاس استراکدها مؤثرند. تاثیر پذیری استراکدها از محیطی که در آن رشد می‌کنند باعث می‌شود که پارامترهای محیطی مثل دما، شوری، نوع بستر و غلظت عناصر مختلف در آب و رسوب به عنوان شاخص‌های مهم

مجدداً از شماره ۵۸ تا ۹۰ افزایش نسبی فراوانی گونه‌ها اتفاق می‌افتد. در نهایت از نمونه ۹۱ تا ۱۰۸ با وجود افت و خیزهای متناوب، فراوانی کاهش می‌یابد و پس از آن از شماره ۱۱۰ تا ۱۲۰ افزایش فراوانی گونه‌ها مشاهده می‌شود. بیشترین فراوانی استراکدها مربوط به نمونه‌های ۲۲، ۸۷ و ۱۱۶ و در ادامه مربوط به شماره‌های ۳۵ و ۶۹ می‌باشد (شکل ۷). با توجه به یافته‌های فوق می‌توان نتیجه گرفت که به طور کلی در برش چشمی برون بین تنوع و فراوانی کل استراکدها ارتباط تقریباً مستقیم وجود دارد.

در حالی که شماره ۱۵ و ۱۴ بدون تغییر بوده و شماره ۱۶ روندی کاهشی دارد. بیشترین تنوع استراکدها در قاعده برش و نمونه‌های شماره ۱۷ و ۲۲ می‌باشد و در ادامه تا حدودی مربوط به شماره‌های ۱۸، ۸۷، ۶۹، ۳۲، ۱۸ و ۱۱۶ می‌باشد. همچنین فراوانی استراکدها در طول برش دارای نوسانات قابل توجهی است و به طور متناوب فراوانی تغییر می‌کند بهنحوی که از قاعده برش تا شماره ۱۸ روند افزایشی اندک وجود دارد و از نمونه ۲۰ تا ۴۰ افزایش فراوانی گونه‌ها مشاهده می‌شود. سپس از نمونه‌های ۴۱ تا ۵۷ فراوانی کاهش یافته و



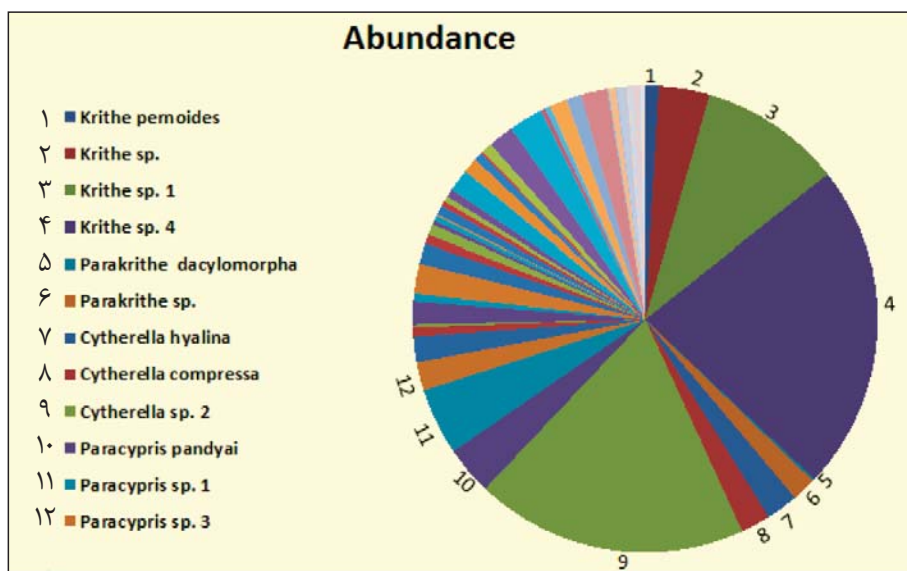
شکل ۶. نمودار تنوع گونه‌های شناسایی شده در نمونه‌های برداشت شده در برش چشمی برون



شکل ۷. نمودار فراوانی گونه‌های شناسایی شده استراکدا در برش چینه‌شناسی چشمی برون

مطابق شکل ۸ بیشترین فراوانی گونه‌های استراکد *Cytherella* می‌تواند به عنوان معیارهایی برای اندازه‌گیری فاکتورهای محیط دیرینه مانند عمق، دما و شوری مورد توجه قرار گیرد. مطابق مطالعات انجام شده جنس *Cytherella* در محیط‌های دریایی گرم و کم عمق و با شوری معمولی و جنس‌های *Krithe* و *Paracypris* در آب‌های عمیق‌تر نیز یافت شده‌اند (Elewa, 2005).

مطابق شکل ۸ بیشترین فراوانی گونه‌های استراکد شناسایی شده مربوط به گونه‌های *Krithe* sp. 4، *Cytherella* sp. 2 *Krithe* sp. 1, *Paracypris* و *Krithe* sp. 1 *Paracypris* sp. 1 می‌باشد. فراوانی گونه‌های استراکدای ذکر شده در طول برش، از جمله جنس‌های *pandyai* و *Paracypris*, *Krithe* و



شکل ۸. نمودار فراوانی گونه‌های شناسایی شده استراکدا در عضو ۶ سازند قم در برش چینه‌شناسی چشمۀ برون

اندازه دانه‌های رسوب، نفوذ نور و پوشش گیاهی همراه خواهد بود (Cronin et al., 2005).

رابطه‌ی زیست‌پذیری استراکدا با عمق، در مورد همه گونه‌ها یکسان نیست. بعضی استراکدا در اعماق مختلف و برخی دیگر فقط در عمق خاصی یافت شده‌اند. بر اساس کرونین و همکاران (Cronin et al., 2005) و بررسی یافته‌های تحقیق حاضر نشان می‌دهد که در برش چینه‌شناسی چشمۀ برون درصد فراوانی جنس‌های شاخص عمق به طور تقریبی محاسبه شده است (جداول ۲ تا ۴). جنس‌هایی که شاخص بخش‌های کم‌عمق هستند عبارتند از:

Xestoleberis و Neomonoceratina، Loxoconcha که درصد بالاتر Xestoleberis گویای هم‌جواری آن با جلبک‌ها و فلورا دریایی بوده است.

جدول ۲. فراوانی نمونه‌های متناسب با سطوح کم‌عمق

Abundance	species
۰/۱۸٪.	Neomonoceratina
۱/۵۸٪.	Loxoconcha
۴/۱۰٪.	Xestoleberis

جنس‌هایی که شاخص بخش‌های عمیق‌تر هستند

عمق: عمق به عنوان یکی از فاکتورهای مهم در کنترل برخی عوامل اکولوژیکی است. وزن مخصوص و فشار هیدروستاتیک آب به طور مستقیم با عمق افزایش می‌یابد، نور کم می‌شود و بسترها به ریزدانه شدن متمایل می‌شوند (خسرو تهرانی، ۱۳۸۸). تراکم مواد آلی باعث کاهش میزان اکسیژن به سمت مناطق عمیق‌تر در ستون آب می‌شود و این امر به علت مصرف اکسیژن صورت می‌گیرد. بنابراین در یک عمق معین ترکیب متنوعی از گونه‌ها وجود خواهد داشت که به نسبت ترکیب اکسیژن به فراوری مواد آلی وابسته‌اند. در مورد اینکه کدام گونه‌ها در طول زمان و مکان‌های مختلف دارای عمق یکسان بوده‌اند توافقی وجود ندارد و ممکن است محدوده عمقي گونه‌ها در طول زمان تغییر کرده باشد. با این حال معمولاً در تحلیل عمق‌سنجه دیرینه چنین فرض می‌شود که گونه‌ها و یا حتی هم‌شکل‌های آن‌ها در طول زمان در اعماق ثابتی زندگی می‌کرده‌اند. (Van der Zwaan et al., 1990) استراکدا در محیط‌های کم‌عمق به‌واسطه وجود نور، شرایط غذایی، اکسیژن و عوامل مشابه دارای فراوانی بیشتر هستند و به سمت محیط عمیق‌تر به‌طور معمول کمیاب‌ترند. از طرف دیگر با افزایش عمق پایداری شرایط محیطی افزایش پیدا می‌کند در حالی که سطح انرژی محیط کاهش می‌یابد. افزایش عمق با کاهش

انطباق دارد و از نمونه‌های ۴۱ تا ۸۰ که کاهش عمق وجود دارد با کاهش نسبی تنوع و فراوانی گونه‌ها روبرو هستیم ولی در نمونه‌های ۸۱ تا ۹۰ افزایش نسبی گونه‌ها هم در عمق بیشتر و هم در عمق کمتر را با توجه به نوع گونه‌ها می‌توان ملاحظه نمود که با افزایش نسبی تنوع و فراوانی گونه‌ها در این بخش مطابقت دارد. در نهایت از نمونه ۹۱ تا ۱۲۰ با افزایش تدریجی فراوانی گونه‌های شاخص محیط کم عمق، روند کاهش عمق نیز در این حوضه مشاهده می‌شود (شکل ۹).

شوری: شوری آب، فاکتوری با اهمیت در ترکیب شیمیایی و فعالیتهای زیست محیطی استراکدها را می‌باشد. در محیط‌های نزدیک خطوط ساحلی به دلیل ورود رودخانه، سیلاب‌ها و آبهای زیرزمینی، شوری آب همواره متغیر است و این امر به دلیل تغییرات چرخه هیدرولوژیکی می‌باشد. (Bassiouni and Luger, 1990) با توجه به حساسیت گونه‌های مختلف استراکدها به شوری، تاکسون‌های منقرض شده‌ی آنها می‌توانند برای تعیین میزان شوری آب در گذشته مورد استفاده قرار گیرند، زیرا مرفولوژی کارپاس آنها با شوری محیط زیست تغییر می‌کند (خسرو تهرانی، ۱۳۸۸). در برش چشمه برون بیشترین فراوانی گونه‌های استراکد مربوط به نمونه‌هایی است که بر اساس نظر باسیونی و لوگر (Bassiouni and Luger, 1990) مربوط به شوری معمولی می‌باشند (جدول ۵).

جدول ۵. استراکدا مربوط به محیط دریایی با شوری معمولی در برش چینه‌شناسی چشمه برون

Frequency	Species
۳۶/۹۹٪	Krithe
۲۳/۲۰٪	Cytherella
۴/۱۰٪	Xestoleberis
۴/۱۰٪	Cytheropteron
۱/۵۸٪	Loxoconcha
۱/۰۲	Henryhowella
۰/۱۸٪	Neomonoceratina

در برش مورد مطالعه بیشترین فراوانی گونه‌های مورد اشاره در جدول شماره ۵ مربوط به نمونه‌های ۱۵ تا ۶۰، ۹۰ تا ۱۱۷ می‌باشد و کمترین آن‌ها در نمونه‌های ۲ تا ۱۵، ۴۱ تا ۵۷ و ۹۱ تا ۱۰۹ قابل مشاهده است که با نمودار

عبارتند از:

جدول ۳. فراوانی نمونه‌های متناسب با سطوح عمیق

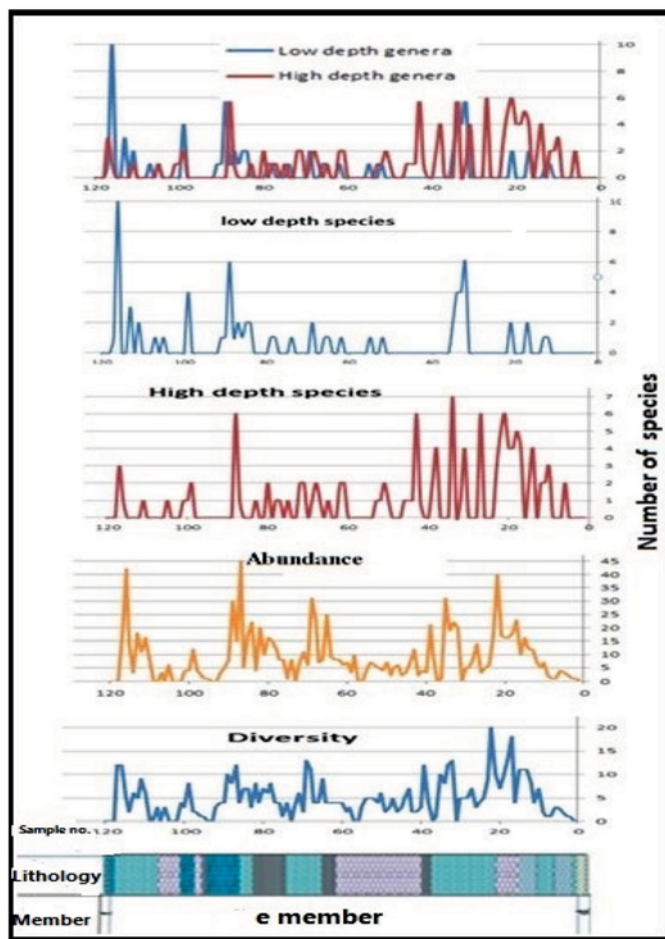
Abundance	species
۶/۶۱٪	Paracypris
۱/۰۲	Henryhowella

جنس‌هایی که در عمق‌های متفاوتی زیست می‌نمایند
عبارتند از:

جدول ۴. فراوانی نمونه‌های متناسب با عمق‌های متغیر

Abundance	species
۳۶/۹۹٪	Krithe
۲۳/۲۰٪	Cytherella
۱/۸۶٪	Parakrithe

گونه‌های مذکور در اعمق مختلفی توانایی زیست دارند و سازش خوبی برای زیستن در محیط‌هایی با کمبود مواد غذایی و اکسیژن آب دارند. در برش چشمه برون این گونه‌ها بیشترین فراوانی را به خود اختصاص داده‌اند. با توجه به یافته‌های فوق می‌توان نتیجه گرفت که محیط رسوبی عضو e سازند به طوری که در قاعده ستون چینه‌شناسی مورد نظر تا بخش میانی (از نمونه ۲ تا ۵۰) به‌طور نسبی افزایش عمق حوضه مشاهده می‌شود که با افزایش استراکدهای شاخص محیط عمیق (Paracypris, Henryhowella) متناسب است. سپس در بخش میانی برش مورد نظر، عمق نسبتاً کاهش یافته اما در نمونه شماره ۸۷ افزایش ناگهانی عمق وجود دارد و پس از آن تا انتهای کاهش عمق حوضه و افزایش جنس‌های شاخص محیط کم عمق هستند دیده می‌شود. بین تنوع، فراوانی و عمق ارتباط ویژه‌ای وجود دارد. شایان ذکر است که تغییرات تنوع و فراوانی تنها به تغییرات عمق وابسته نیستند (Sanders et al., 1965). تنوع معمولاً در بخش‌های کم عمق و نزدیک خط ساحلی کم است و به تدریج با دور شدن از خط ساحلی افزایش می‌یابد ولی مجدداً در اعمق بیشتر به علت کاهش مواد غذایی، کاهش پیدا می‌کند (Pokorny, 1971). در برش چشمه برون به‌طور کلی از نمونه‌های ۲۰ تا ۴۰ شاهد فراوانی و تنوع گونه‌ها می‌باشیم که با افزایش عمق در این بخش



شکل ۹. روند تغییر عمق نهشته‌های عضو ۶ سازند قم در برش چشممه برون بر اساس استراکدهای شاخص محیط عمیق (Paracypris, Neomonoceratina, Loxoconcha, Xestoleberis) و محیط کم عمق (Henryhowella)

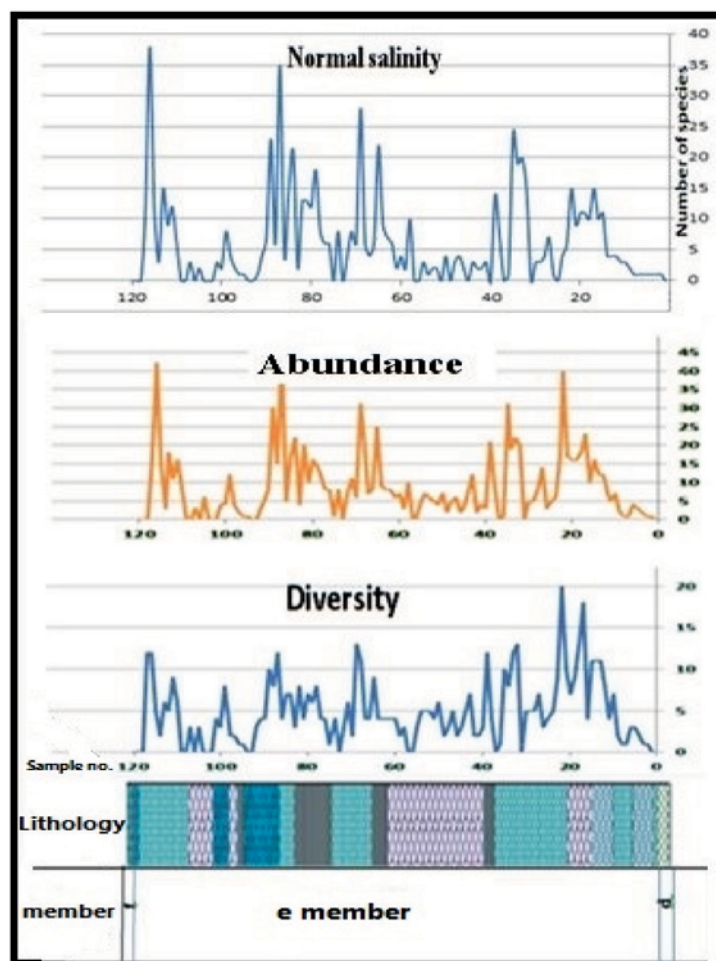
افزایش و کاهش نسبی تنوع و فراوانی گونه‌ها انطباق دارد (Alvarez-Zarikian et al., 2008) که مشخصه‌ی دمایی هستند اشاره شده است:

۱. استراکدهایی که مشخصه‌ی آب‌های گرم هستند عبارتند از: *Aurila*, *Bairdia*, *Ruggieria*
۲. استراکدهایی که مربوط به آب‌های نسبتاً سردتر هستند مانند: *Henryhowella* و *Krithe*, *Cytherella*

مطابق یافته‌های به دست آمده می‌توان نتیجه گرفت که افزایش دما به طور نسبی متناسب با افزایش جنس‌های شاخص‌های گرم شامل *Ruggieria*, *Aurila*, *Bairdia* بوده بهنحوی که از قاعده برش مورد نظر تا بخش میانی (از نمونه ۲ تا ۷۰) علی‌رغم افت و خیزهای نسبی، افزایش دما قابل مشاهده است که با روند تغییرات تنوع و فراوانی گونه‌ها نیز هماهنگی دارد. همچنین افزایش نسبی دما منجر به افزایش تنوع و همچنین فراوانی استراکدا در طول برش

این طور به نظر می‌رسد که علی‌رغم محیط دریانه دریایی نهشته‌های عضو ۶، این محیط احتمالاً دارای نوسانات شوری آب نیز بوده که با توجه به میزان فراوانی گونه‌های نامبرده شده در جدول ۵ می‌توان ارتباط مستقیم با تنوع و فراوانی کل استراکدا را توجیه کرد (شکل ۱۰).

دما: تغییرات دمایی که در عرض‌های مختلف جغرافیایی وجود دارد، تجمع استراکدها را تحت تاثیر قرار می‌دهد. تجمع استراکدها در مناطق گرمسیری نسبت به تجمع در عرض‌های بالاتر متنوع‌تر بوده ولی اندازه بعضی کارپاس‌های نمونه‌های عرض‌های بالاتر بزرگ‌تر است. دما به طور مستقیم بر افزایش تولید مثل و نیز بر ضخیم شدن کارپاس استراکدها مؤثر است (Alvarez-Zarikian et al., 2008). در برش چینه‌شناسی چشممه برون بر اساس نظر الارز و همکاران



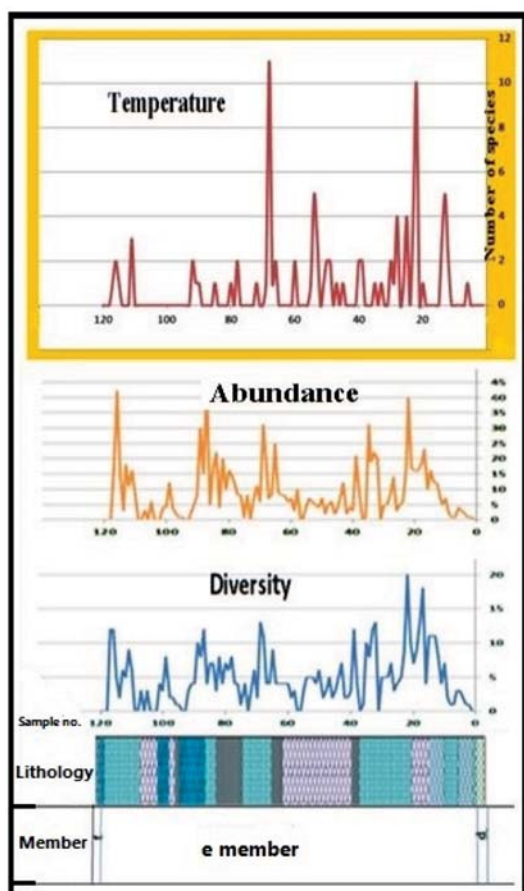
شکل ۱۰. روند تغییر شوری نهشتهداری عضو ۶ سازند قم در برش چشمیه برون

بنابراین درصد بالای حضور فسیل استراکد *Cytherella*

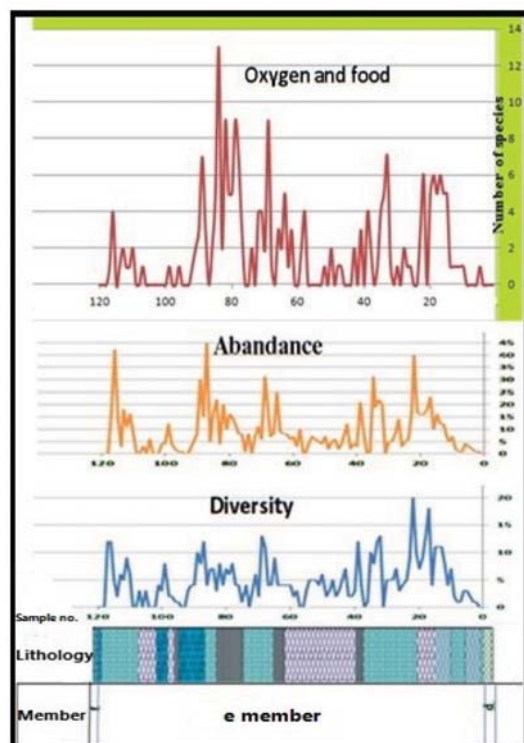
از بلاتی کوپیدا، می‌تواند برای تعیین سطح اکسیژن و به عنوان مقیاس انحلال اکسیژن در دریاهای گذشته مورد استفاده قرار گیرد. به عقیده واتلی (Whatley, 1991) در اغلب محیط‌های اکولوژیکی پر تنش و کم اکسیژن، استراکدهای پلاتی کوپید به دلیل تغذیه خاص و تولید مثل خود در محیط غالب می‌شوند و در عوض از تنوع و فراوانی پودوکوپیدها کاسته می‌شود. به عبارت دیگر به دلیل تغذیه نوع صافی خواری و صفات برانشی زیادی که جهت این نوع تغذیه و نیز تنفس در سطح شکمی خود دارند باعث افزایش بیشتر اکسیژن محلول در آب می‌شوند. از طرف دیگر حضور گستردگی فسیل پودوکوپیدا به ویژه *Krithe* نشانه افزایش اکسیژن محیط می‌باشد و بنابراین تغییرات اکسیژن در برش مورد مطالعه تأیید می‌گردد (شکل ۱۳).

چینه‌شناسی شده است (شکل ۱۱).

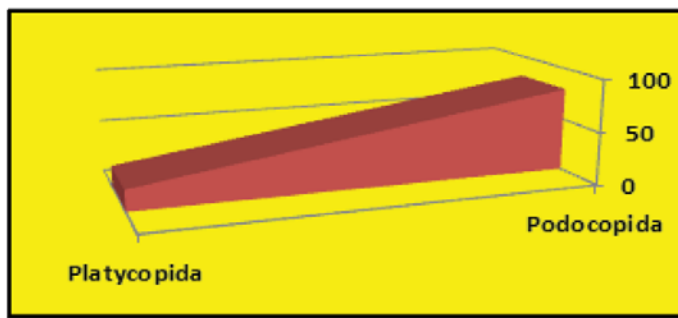
مواد غذایی و اکسیژن: تغییر در منابع غذایی و اکسیژن محلول در آب، ممکن است سبب تغییر در شکل و اندازه وستیبول در برخی جنس‌ها مانند *Parakrithe* و *Krithe* شود. میزان فسفات و نیترات در آب دریا نیز بازتاب‌دهنده افزایش یا کاهش جمعیت استراکدهاست. میزان اکسیژن محلول در آب در پراکندگی استراکدها نقش اساسی دارد. برخی از استراکدها مانند جنس *Xestoleberis* در محیط‌های کم اکسیژن از بین می‌رونده و محل زندگی آنها در محیط‌های جزر و مدی واقع در بالای سواحل و گاهی در رسوبات است (Whatley, 1991). تغییرات اکسیژن و مواد غذایی محیط با فراوانی و تنوع استراکدها رابطه مستقیم دارد به طوری که با کاهش میزان اکسیژن محیط، تنوع و فراوانی استراکدها نیز کاهش می‌یابد (شکل ۱۲).



شکل ۱۱. روند تغییر دمای نهشتهداری عضو ۶ سازند قم در برش چشممه برون بر اساس استراکدهای شاخص



شکل ۱۲. روند تغییر اکسیژن و مواد غذایی نهشتهداری عضو ۶ سازند قم در برش چشممه برون بر اساس استراکدهای پلاتی کوپیدا



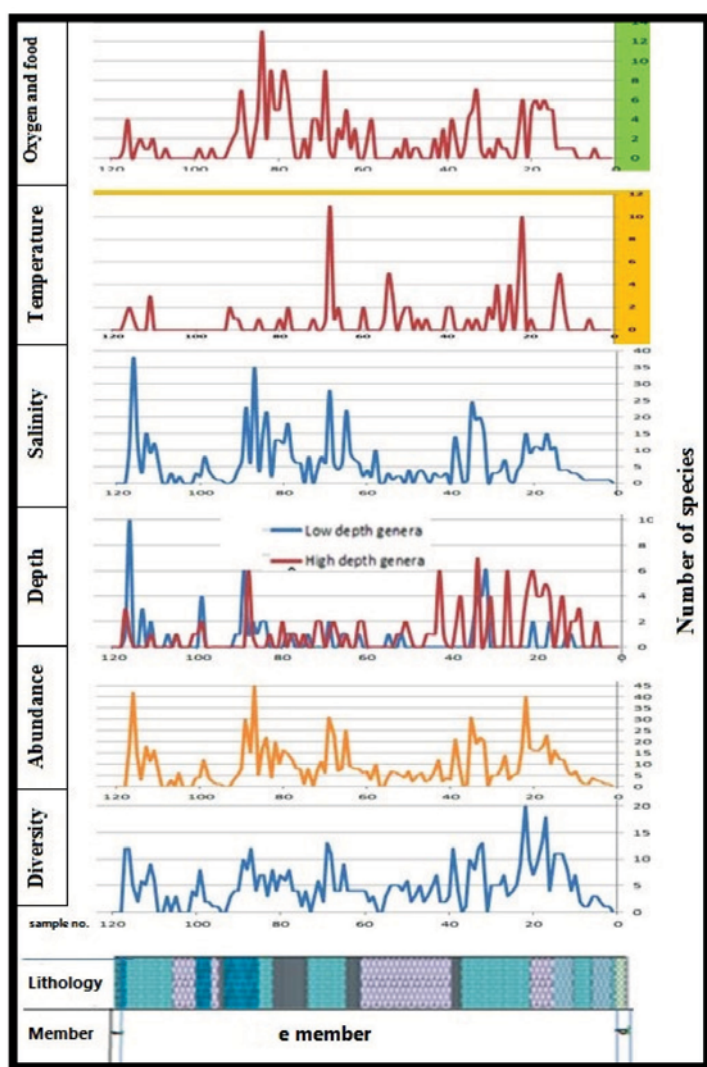
شکل ۱۳. نمودار مقایسه فراوانی استراکدهای پلاتی کوپیدا و پودوکوپیدا در برش چشمیه برون

استراکدها استفاده کردند (Horne and Martens, 2000). همچنین بر اساس مطالعات انجام شده، جنس *Paracypris* نیز در محیط آبی نسبتاً عمیق (Ikeya et al., 2011) بیشتر گونه‌های *Cytherella* در محیط آبی کم‌عمق با شوری معمولی (Hartmann and Puri, 1975) و جنس‌های *Bairdioppilata* و *Bairdia* با شوری معمولی ثبت شده‌اند (Monostori, 1985). با توجه به جنس‌های فوق که در اعماق مختلفی توانایی زیست دارند می‌توان نتیجه گرفت که عضو سازند قم مربوط به عمق‌های متفاوت بوده و نوسانات آن به شکلی بوده که در بخش قاعده عمق به تدریج افزایش یافته و پس از روندی کاهشی، به طور ناگهانی افزایش پیدا کرده و سپس به سمت انتهای ستون چینه‌شناسی از عمق کاسته می‌شود. همچنین محیط دیرینه نهشته‌های عضو درای نوسانات شوری آب نیز بوده که با تنوع و فراوانی کل استراکدها ارتباط مستقیم دارد. به طور کلی کاهش دما احتمالاً سبب پایین آمدن سطح آب دریا شده؛ در حالی که افزایش دما سطح آب دریا را افزایش داده و به طور نسبی شوری کاهش می‌یابد. در نتیجه محیط رسوبی عضو سازند قم در برش چشمیه برون، محیطی با نوسانات سطح آب دریا و تغییرات عمق بوده است. بهنحوی که در قاعده ستون چینه‌شناسی مورد نظر تا بخش میانی (از نمونه ۲ تا ۵۰) به طور نسبی افزایش عمق حوضه مشاهده می‌شود و سپس در بخش میانی برش مورد نظر، عمق نسبتاً کاهش یافته و این در حالی است که استراکدها در محیط‌های کم‌عمق به واسطه وجود نور، شرایط غذایی، اکسیژن و عوامل مشابه دارای فراوانی بیشتر

توجه و بررسی تنوع و فراوانی گونه‌های استراکدا در طول برش، از جمله جنس‌های *Paracypris*, *Aurila*, *Ruggieria*, *Loxochoncha*, *Krithe*, *Xestoleberis* و *Cytherella*، می‌تواند به عنوان معیارهایی برای اندازه‌گیری فاکتورهای پالئواکولوژیک مورد توجه قرار گیرد. تغییرات مربوط به آنها نشان‌دهنده بی‌ثباتی شرایط محیط دیرینه در طول توالی مورد مطالعه می‌باشد. این طور به نظر می‌رسد که علت تغییرات، مربوط به مواد غذایی، اکسیژن و آشفتگی آب باشد. اکسیژن محلول در آب یکی از مهم‌ترین عوامل محیطی است که در توزیع و پراکندگی انواع استراکدها نقش اساسی و مهمی را ایفا می‌کند. همچنین وجود تزئینات زیاد در کاراپاس استراکدها به وجود اکسیژن بستگی دارد زیرا در محیط‌های کم اکسیژن، روزن‌داران و استراکدها از تزئینات بسیار کمی برخوردارند (Whatley, 1991) و جنس‌های *Loxochoncha*, *Ruggieria*, *Aurila* در برش مورد بررسی دارای این گونه تزئینات می‌باشند. مطابق مطالعات انجام شده جنس‌های *Cytherella*, *Xestoleberis*, *Bairdioppilata* و *Aurila* در محیط‌های دریایی کرم (حرارت بیش از ۱۰ درجه سانتی‌گراد) و کم‌عمق بوده‌اند (Ikeya et al., 2011) و جنس *Krithe* در آب‌های عمیق تر نیز یافت شده است (Elewa, 2005). البته فرضیه‌ای در مورد این جنس توسط پیپوکه (Peypouquet, 1975) مطرح گردیده که اندازه و شکل دهلیزی *Krithe* را به محتوی اکسیژن حل شده آب دریا ارتباط می‌دهد. تحقیقات پیپوکه (1983)، ریها (Riha, 1989) و مک‌کنتری (McKenzie, 1979) از این فرضیه برای برآورد محیط‌های دیرینه بر اساس

آن استفاده می‌کنند. اشباع آب از اکسیژن در طول شب و در اعماق زیاد کمتر روی می‌دهد. احتمالاً در بخش میانی برش چشمیه برون که عمق نسبتاً کاهش یافته، اکسیژن و مواد غذایی فراوان تر بوده است. به نظر می‌رسد در برش چشمیه برون تغییرات اکسیژن و مواد غذایی محیط دیرینه با فراوانی و تنوع استراکدها رابطه مستقیم داشته به طوری که با کاهش میزان اکسیژن محیط، تنوع و فراوانی استراکدها نیز کاهش می‌باید (شکل ۱۴).

هستند و به سمت محیط عمیق تر به طور معمول کمیاب‌ترند. از طرف دیگر با افزایش عمق، پایداری شرایط محیطی افزایش پیدا نموده در حالی که سطح انرژی محیط کاهش می‌باید. افزایش عمق با کاهش اندازه دانه‌های رسوب، نفوذ نور و پوشش فلورا همراه خواهد بود. میزان اکسیژن موجود در آب دریا به دما و موجودات زنده فتوسنتز کننده مانند جلبک‌ها و فیتوپلانکتون‌ها بستگی دارد که در آن زندگی می‌کنند. در طول روز، فعالیت فتوسنتزی آن‌ها اکسیژن تولید می‌کنند، این اکسیژن در آب دریا حل می‌شود و موجودات دریایی از



شکل ۱۴. روند تغییرات عمق، دما، شوری، مواد غذایی و اکسیژن و ارتباط آن با فراوانی و تنوع استراکدها در برش چشمیه برون

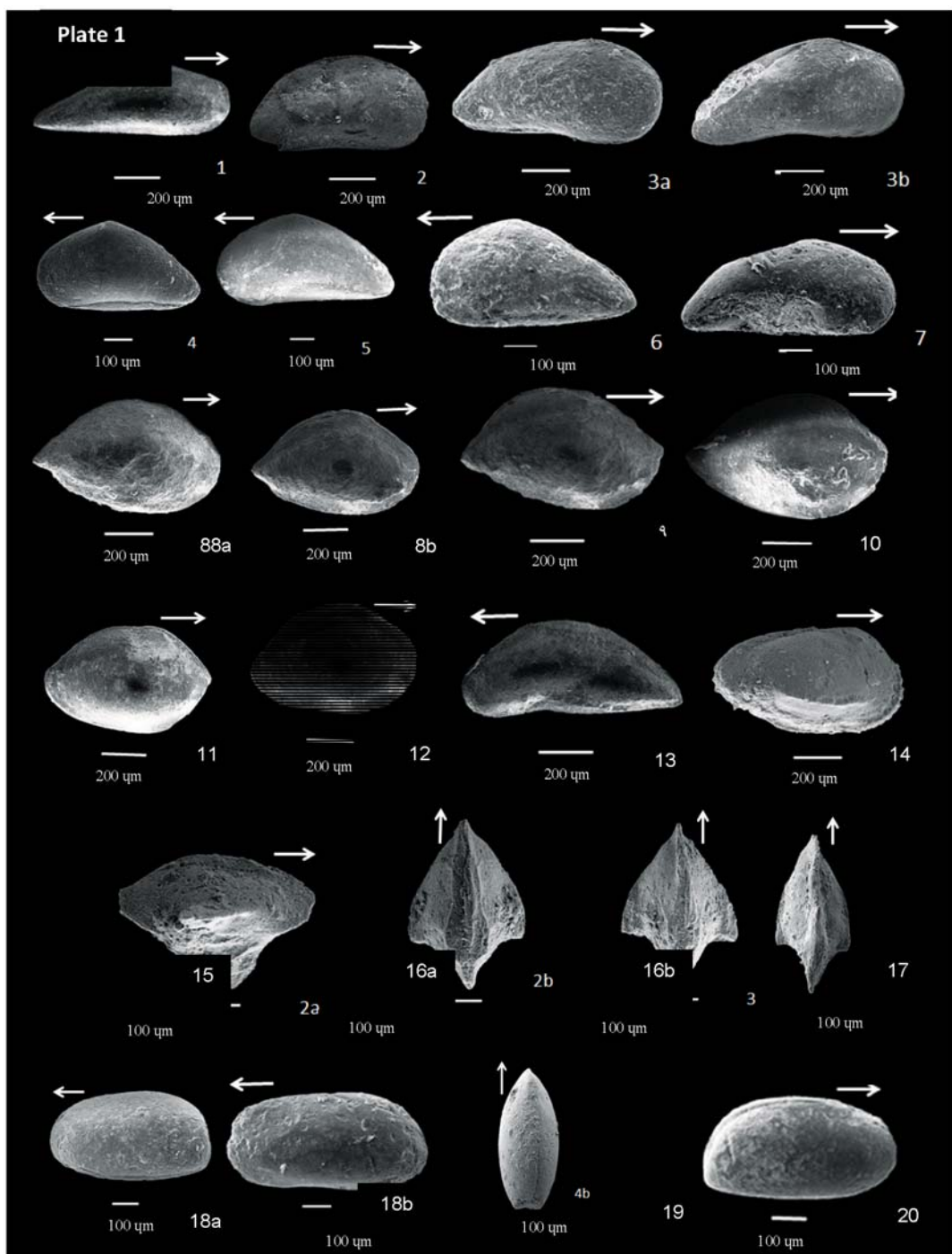


Plate 1: *Paracypris pandyai* Khosla 1978, Right valve, Sample No. Ch 8, 2: *Paracypris* sp. 1, Right valve, Sample No. Ch 12, 3: *Paracypris* sp. 3, a) Right valve, Sample No. Ch 8, b) Right valve Sample No. Ch 13, 4 : *Propontocypris* sp. 1, Left valve, Sample No. Ch 22. 5: *Propontocypris* sp.2, Left valve, Sample No. Ch 21, 6: *Propontocypris* sp. 3, Left valve, Sample No. Ch 80, 7: *Pontocypris* sp. , Right valve, Sample No. Ch 33, 8: *Neonesidea spica* Holden 1976, a) Right valve, Sample No. Ch 18, b) Right valve Sample No. Ch 67, 9: *Bairdia ocalana* Puri 1957, Right valve, Sample No. Ch 117, 10: *Bairdia orbiculata* Gusseva 1972, Right valve, Sample No. Ch 67, 11: *Bairdia* sp., Right valve, Sample No. Ch 18, 12: *Bairdopspilata* sp. cf. *B. subdeltoidea* (Münster), Right valve, Sample No. Ch 17, 13: *Macrocypris* sp. , Left valve, Sample No. Ch 26, 14: *Bosquetina* sp., Right valve, Sample No. Ch 59, 15: *Cytheropteron* sp. 1, Dorsal view, Sample No. Ch 87, 16: *Cytheropteron* sp. 4, a) Right valve, b) Dorsal view, Sample No. Ch 87, 17: *Cytheropteron* sp., Dorsal view, Sample No. Ch 87, 18: *Krithe pernoides* Bornemann 1855, a) Right valve, b) Dorsal view, Sample No. Ch 113, 19: *Krithe* sp. 1, a) Left valve, Sample No. Ch 85, 20: *Krithe* sp.4, Right valve, Sample No. Ch 112.

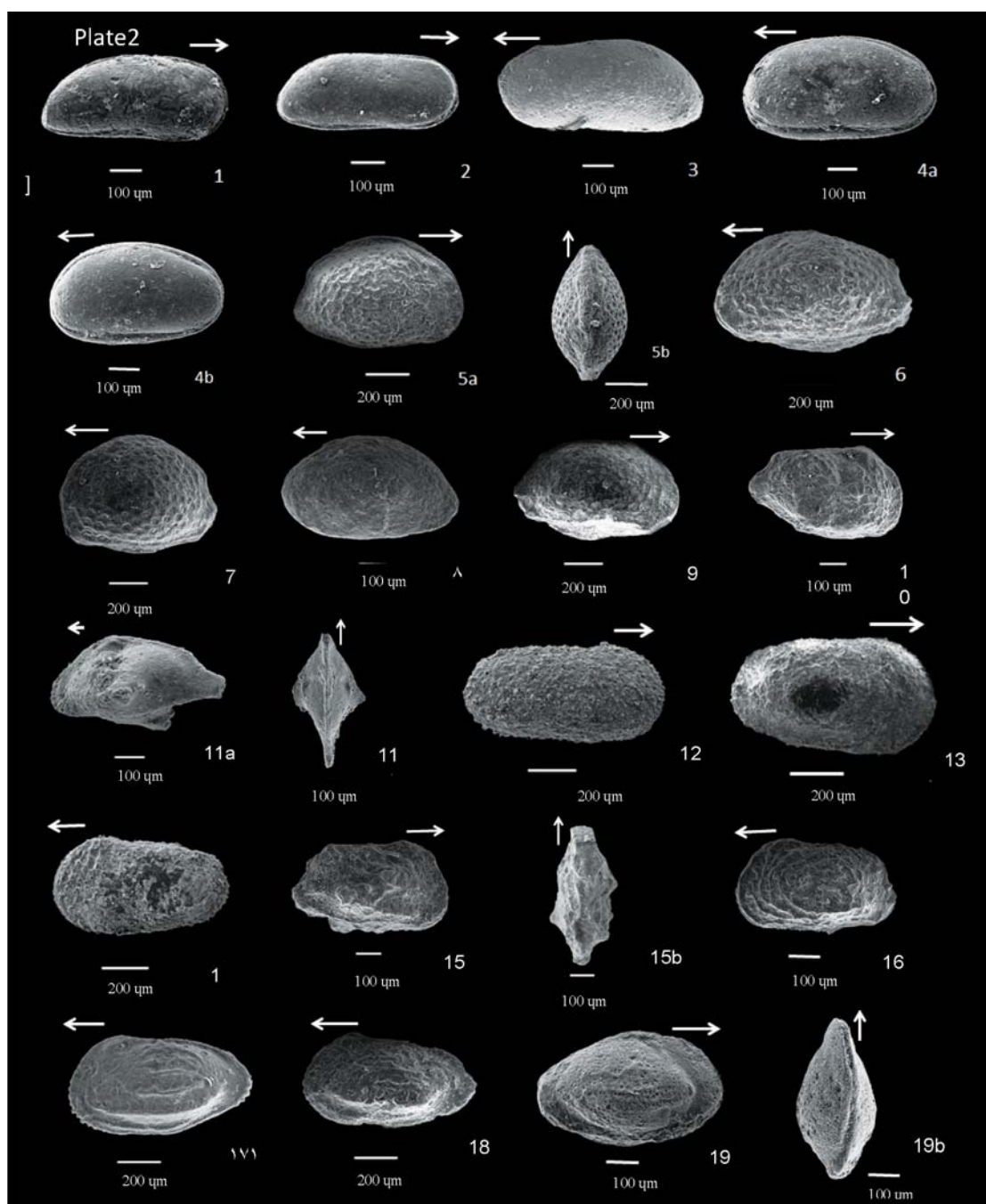


Plate: **Krithe** sp., Right valve, Sample No. Ch 12, 2: **Parakritte dactylomorpha** Ruggieri 1962, Right valve, Sample No. Ch 115, 3: **Parakritte** sp. , Left valve, Sample No. Ch 41, 4: **Cyamocystheridea** sp., a,b) Right valve, Sample No. Ch 112, 5: **Aurila convexa** Baird 1850, a) Right valve, b) Dorsal view Sample No. Ch 68, 6: **Aurila (Aurila)** sp., Left valve, Sample No. Ch 68, 7: **Aurila (Aurila)** sp.1, Left valve, Sample No. Ch 50, 8: **Aurila (Cruciaurila)** sp., Left valve, Sample No. Ch 91, 9: **Pokornyella deformis minor** Reuss 1850, Right valve, Sample No. Ch 68, 10: **Neomonoceratina** sp., Right valve, Sample No. Ch 12, 11: **Paijenborchella** sp. 1, a) Left valve, b) Dorsal view, Sample No. Ch 69, 12: **Echinocythereis** sp. 1, Right valve, Sample No. Ch 51, Right valve, Sample No. Ch 12, 13:**Echinocythereis** sp. 2, Right valve, Sample No. Ch 52 , 14: **Henryhowella** sp. 1, Left valve, Sample No. Ch 38, 15: **Hermanites** sp. 1, a) Right valve, b) Dorsal view, Sample No. Ch 21, 16: **Grinioneis** sp., Left valve, Sample No. Ch 6, 17: **Ruggieria** sp. 4, Left valve, Sample No. Ch 6, 18: **Ruggieria** sp. 2, Left valve, Sample No. Ch 6, 19: **Buntonia** sp., a) Right valve, b) Dorsal view, Sample No. Ch 73.

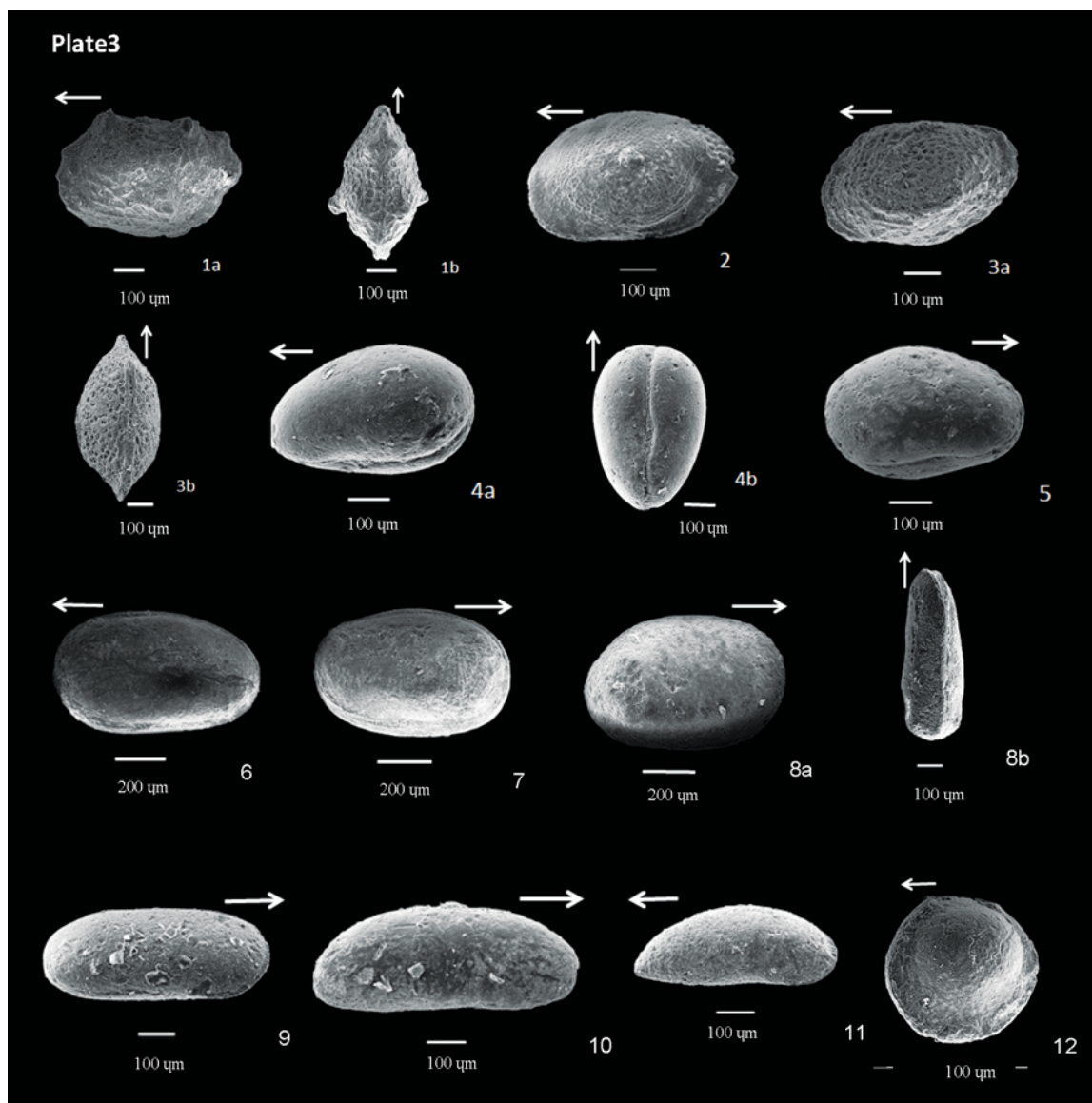


Plate 1: *Loxocorniculum* sp., a) Left valve, b) Dorsal view, Sample No. Ch 99, 2: *Loxoconcha punctatella* Reuss 1850, Left valve, Sample No. Ch 48, 3: *Loxoconcha* sp. 2, a) Left valve, b) Dorsal view, Sample No. Ch 112, 4: *Xestoleberis* sp. 1, a) Right valve, b) Dorsal view, Sample No. Ch 98, 5: *Xestoleberis* sp. 2, Left valve, Sample No. Ch 93, 6: *Cytherella hyalina* MÉHES, 1941, Left valve, Sample No. Ch 85, 7: *Cytherella compressa* MÜNSTER 1830, Right valve, Sample No. Ch 87, 8: *Cytherella* sp. 2, a) Right valve, b) Dorsal view, Sample No. Ch 69, 9: *Copytus?* sp., Right valve, Sample No. Ch 100, 10: *Pontocythere?* sp., Right valve, Sample No. Ch 97, 11: *Cytherois?* sp., Right valve, Sample No. Ch 33, 12: *Polycopae* sp.1, Left valve, Sample No. Ch 111.

نتیجه‌گیری

شده به نظر می‌رسد ۱۳ جنس و گونه برای اولین بار از سازند قم ۴۲۷ / ۵ متر رسوبات عضو سازند قم در برش چینه‌شناسی چشمی برون شامل مارن، مارن ماسه‌ای، شیل، شیل آهکی و آهک‌رسی بوده و حاوی ۳۰ جنس و ۵۱ گونه استراکد است. از میان جنس‌ها و گونه‌های شناسایی

- پالئوکولوژی سازند قم بر اساس استراکدا در شمال غرب سمنان. پایان نامه کارشناسی ارشد، دانشگاه دامغان، ۱۳۱.
- پورمعتمد، ف.، ۱۳۴۶. مطالعه استراکدها و سنگشناسی سازند قم در منطقه دوچاه. پایان نامه کارشناسی ارشد، دانشگاه تهران.
- ترک زاده ماهانی، الف.، وزیری، م.، داستانپور، م.، خسروی، ز. و حسنی، م.، ۱۳۸۹. معرفی استراکدهای میوسن پیشین و پالئوکولوژی آنها در ناحیه جفریز (شمال بافت کرمان). فصلنامه رخساره‌های رسوبی، (۲)، ۴۱-۵۱.
- خسروتهرانی، خ.، ۱۳۸۸. میکروبالئونتولوژی کاربردی (جلد دوم) غیر فرامینیفرا. انتشارات دانشگاه تهران، چاپ سوم، ۲۵۱.
- دانشیان، ج. و اخلاقی، م.، ۱۳۸۷. محیط دیرینه نهشته‌های سازند قم بر اساس فرامینیفرا در برش اندآباد، شمال شرق ماهنشان. دومنی همایش انجمن دیرینه‌شناسی ایران، دانشگاه آزاد اسلامی خوارسگان.
- دانشیان، ج. و آفتابی، ا.، ۱۳۸۸. بیواستراتیگرافی فرامینیفرهای سازند قم بر اساس یافته‌های جدید در برش چینه‌شناسی تاقدیس نواب، جنوب شرق کاشان. مجله علوم دانشگاه تهران، (۴)، ۳۵).
- دانشیان، ج. و اکرمی، ز.، ۱۳۹۲. گزارشی از استراکدهای سازند قم (عضو b) در شمال غرب قم. سی و دومنی گردهمایی و نخستین کنگره بین‌المللی تخصصی علوم زمین، سازمان زمین‌شناسی کشور.
- دانشیان، ج.، اینم دوست، باغبانی و جلالی، ۱۳۸۸. چینه نگاری سکانسی سازند قم در برش رازقان، شمال باخرز ساوه، سیزدهمین همایش انجمن زمین‌شناسی ایران، تهران.
- دانشیان، ج. و طریقی، م.، ۱۳۹۱. است راکدهای میوسن ناحیه دوچاه در شمال غرب قم. ششمین همایش انجمن دیرینه‌شناسی ایران، جلفا.
- دانشیان، ج. و قنبری، م.، ۱۳۸۶. مطالعه گسترش چینه‌شناسی فرامینیفرا پلانکتیک عضو b سازند قم در ناحیه الگو، یازدهمین همایش انجمن زمین‌شناسی کشور، دانشگاه فردوسی مشهد.
- دانشیان، ج.، مصدق، ح.، خلچ، ح. و قاسمی، ع.، ۱۳۸۸. چینه نگاری سکانسی نهشته‌های سازند قم در ناحیه الگو برش کوه بیچاره در جنوب شرق قم، شمال ایران مرکزی. مجله علمی پژوهشی علوم پایه دانشگاه اصفهان.
- دانشیان، ج. و ادونی، س.، ۱۳۸۹. اولین گزارش از

(*Aurila*) sp.1, *Neonesidea spica*, *Bairdia ocalana*, *Bairdia orbiculata*, *Macrocypris* sp., *Pontocypris* sp., *Cytherois?* sp., *Propontocypris* sp. 3, *Grinioneis* sp. بر مبنای استراکد، سن نهشته‌ها میوسن پیشین (اکیتانین-بوردیگالین) بوده هرچند که بر اساس فرامینیفرها بوردیگالین می‌باشد. همچنین مطالعات پالئوکولوژی، بر اساس ۱۰۷۳ فسیل استراکد شناسایی شده نشان داد که بیشترین فراوانی مربوط به جنس‌هایی مانند *Cytherella*, *Krithe*, *Paracypris* است. با توجه به جنس‌های فوق که در اعمق مختلفی توانایی زیست دارند می‌توان نتیجه گرفت که عضو ۶ سازند قم مربوط به عمق‌های متفاوت بوده و نوسانات آن به شکلی است که در بخش قاعده عمق به تدریج افزایش یافته و پس از تحمل روندی کاهشی، مجددًا به طور ناگهانی افزایش پیدا کرده و سپس به سمت انتهای ستون چینه‌شناسی از عمق آن کاسته می‌شود. بر اساس استراکدهای شناسایی شده در این بررسی شامل *Aurila*, *Bairdia*, *Ruggieria* که از نظر دما ساکن آبهای گرم هستند و علی‌رغم وجود برخی گونه‌های *Krithe*, *Cytherella* و *Henryhowella* که از نظر دما معمولاً در آبهای سردتر حضور دارند، می‌توان به طور کلی دمای حوضه رسوبی سازند قم را با نوساناتی گرم در نظر گرفت. ضمناً حضور گستردگی فسیل پودوکوپیدا در منطقه بهویزه *Krithe* نشانه افزایش اکسیژن محیط می‌باشد. همچنین با توجه به بیشتر گونه‌های *Cytherella* که در محیط آبی کم عمق با شوری معمولی یافت شده‌اند و *Bairdioppilata* و *Bairdia* که از آبهای گرم کم عمق با شوری معمولی ثبت شده‌اند، می‌توان استنتاج نمود که شرایط پالئوکولوژی برش مورد بررسی با توجه به جنس‌های *Aurila*, *Loxochoncha* و *Cytherella* می‌تواند محیطی گرم و درون اقلیمی با شوری معمولی باشد.

منابع

- احسانی، ن.، ۱۳۹۰. گسترش چینه‌شناسی استراکدها در عضو ۶ سازند قم در کمرکوه، شمال غرب قم. پایان نامه کارشناسی ارشد، دانشگاه خوارزمی تهران، ۸۰.
- اسماعیلی دهج، الف.، ۱۳۹۰. بیواستراتیگرافی و

- ner, R., 2005. Ecology and shell chemistry of *Loxoconcha matagordensis*, Palaeogeography, Palaeoclimatology., Palaeoecology, 225, 14- 67.
- Daneshian, J., and Ramezani Dana, L., 2007. Early Miocene benthic foraminifera and biostratigraphy of the Qom Formation, Deh Namak, Central Iran. Journal of Asian Earth Sciences, 29, 844-858.
 - Dozy, J.J., 1945. A geological reconnaissance of the area of Veramin and the Siah Kuh (Central Persia): Geological Report 6 (Tehran file).
 - Elewa, Ashraf M.T., 2005. Migration of Organisms: Climate. Geography. Ecology. Springer Science and Business Media.
 - Frenzel, P., and Boomer, I., 2005. The use of ostracods from marginal marine, brackish waters as bioindicators of modern and quaternary environmental change Palaeogeography, Palaeoclimatology, Palaeoecology, 225 (1), 68-92.
 - Furon, R., and Marie, P., 1939. Sur la microfaune des marnes aquitaniennes Lepidocyclines de Qoum (Perse). Compte Rendu Sommaire des Séances de la Société Géologique de France, 79- 80.
 - Furrer, M. A. and Soder, P. A., 1955. The Oligo- Miocene Marine Formation in the Qom region (Central Iran), Proceedings of the 4th World Petroleum Congress, Rome, Section I/A/5: 267 -277.
 - Hartmann, G., and Puri, H.S., 1975. Summary neontological and palaeontological classification of ostracoda. Mitt. Hamburg, 2001.Mus. Inst, 70.
 - Horne, D. and Martens, K., 2000. Evolutionary Biology and Ecology of Ostracoda. Springer Science and Business Media.
 - Ikeya, N., Ishizaki, K. and Hanai, T., 2011. Evolutionary Biology of Ostracoda: Its Function, 1382. زمین‌شناسی ایران. تهران، انتشارات امیرکبیر.
 - زمانی، پ.، ۱۳۸۲. نقشه زمین‌شناسی ۱/۱۰۰۰۰۰ قم. سازمان زمین‌شناسی کشور.
 - طریقی، م.، ۱۳۹۱. گسترش چینه‌شناسی استراکدها در عضو ۶ سازند قم در کوه دوچاه، شمال غرب قم. پایان نامه کارشناسی ارشد، دانشگاه خوارزمی، ۱۳۶.
 - وادونی، س.، ۱۳۸۹. گسترش چینه‌شناسی استراکدها در عضو ۶ سازند قم در کوه دوچاه، شمال غرب قم. پایان نامه کارشناسی ارشد، دانشگاه خوارزمی تهران، ۸۵.
 - هادوی، ف.، ۱۳۶۳. معرفی استراکدهای مقطع دوچاه (سازند قم). سازمان زمین‌شناسی کشور.
 - هادوی، ف.، ۱۳۸۱. استراکدهای سازند قم در مقطع دوچاه. بیست و یکمین همایش علوم زمین سازمان زمین‌شناسی کشور، ۱۴۳ - ۱۴۶.
 - Alvarez-Zarikian, C.A., Soter, S. and Katsonopoulou, D., 2008. Recurrent submergence and uplift in the area of ancient Helike, Gulf of Corinth, Greece: microfaunal and archaeological evidence. Journal of Coastal Research, 24, 110-125.
 - Armstrong, H.A., and Brasier, M.D., 2005. Microfossils: Malden, Mass. Blackwell Publishing, 296.
 - Bassiouni, M. A. A., and Luger, P., 1990. Maastrichtian to Early Eocene ostracoda from southern Egypt. Paleontology, Paleoecology, Paleobiography and Biostratigraphy. Berliner Geowissenschaftlichen Abhandlungen, Berlin, 120 (2), 755-928.
 - Bruce, A., 2002. The importance of ostracoda and their relationship with the marine near shore environment of Thanet. Environment Agency, Addington, West Malling, 37- 43.
 - Cronin, T.M., Kamiya, T., Dwyer, G.S., Belkin, H., Vann, C.D., Schwede, S. and Wag-

- damentals and Applications, Elsevier, 623.
- McKenzie, J.A., 1995. Geochemical indicators tracing ecosystem response to climatic change during the late Pleistocene, Geological Institute, ETH-Zentrum, 8092 Zurich, Switzerland.
 - Monostori, M., 1985. Eocene Ostracoda from the Dorog Basin (Norther Transdanubia Hungary). Akademia kiado, Budapest. l-214.
 - Peypouquet, J.P., 1975. Les variations des caractères morphologique internes chez les ostracodes des genres Krithe et Parakrithe: relation possible avec la teneur en O₂ dissout dans l'eau. Bulletin de l'Institut Géologique du Bassin d'Aquitaine, Bordeaux, 17: 81-88.
 - Pokorny, V., 1971. The diversity of fossil ostracode communities as an indicator of paleogeographic condizioni. In: Oertli, H.J. (ed.), colloque sur la paléoécologie Recherches Pau. 45-61.
 - Riben, H., 1935. Contribution à la géologie de l'Azerbeidjan Persan: Bulletin de la Société Neuchateloise des Sciences Naturelles, 59 (1934), 20-144.
 - Riha, J., 1989. Ostracoda and Biostratigraphy. Proceedings of 12th International Symposium On Ostracoda. Balkema, Rotterdam.
 - Sanders, H.L., Hessler, R.R. and Hampson, G.R., 1965. An introduction to the study of deep-sea benthic faunal assemblages along the Gay Head-Bermuda transect. Deep-Sea Research and Oceanographic Abstracts, 12 , 845-867.
 - Stahl, A. F., 1911. Persien in Handbuch der Regionalen Geologie. Heidelberg (Winter), Hft. 8, 5(8), 257-267.
 - Stocklin, J. and Setudehnia, A., 1977. Stratigraphic Lexicon of Iran, 2nd ed., Rep. 18, 376, Geological Survey of Iran, Tehran.
 - Van der Zwaan, G.J., Jorissen, F.J., and De Stigter, H.C., 1990. The depth-dependency of planktonic/benthic foraminiferal ratios; constraints and applications. Marine Geology, 95, 1-16.
 - Whatley, R.C., 1991. The platycopid signal: a means of detecting kenoxic event using Ostracoda. Journal of Micropaleontology, 10, 181-185.